Ein und Ausgabe: Farbmetrisches Drucker-Reflektiv-System ORS18_95aM für relativen CIELAB-Buntton $h^* = lab^*b^* = h_{ab}/360 = 0.451$ $u^*_e = g00b$

Daten für jede Farbe: *lab*lch** und *lab*icu**

Buntkontexte: $u^*_e = g00b$ $u^*_a = l13c$

Kontrastreduzierungsfaktor: $c_{Ri} = 1.0$

Dreiecks-Helligkeit l^*

ORS18_95aM_adaptierte CIELAB-Daten

	L^*	L^{*-1}	a^*	b^*	$C^*_{ab,i}$	$h^*_{ab,i}$	$u^*_{e,i}$
O_{ab}	47.94	65.39	50.52	82.63	38		
Y_{ab}	90.37	−10.27	91.75	92.32	96		
L_{ab}	50.9	−62.84	34.96	71.91	151		
C_{ab}	58.62	−30.35	−45.02	54.3	236		
V_{ab}	25.72	31.1	−44.41	54.22	305		
M_{ab}	48.13	75.28	−8.37	75.74	354		
N_{ab}	18.01	0.0	0.0	0.0	0		
W_{ab}	95.41	0.0	0.0	0.0	0		
R_{ab}	39.92	58.74	27.99	65.07	25		
h_{ab}	81.26	−2.89	71.56	71.62	92		
C_{ab}	52.23	−42.42	13.6	44.55	162		
D_{uv}	30.57	1.41	−46.47	46.49	272		

*LAB*LAB*$_{Mit}$: 53 −56 18

*LAB*LCH*$_{Mit}$: 53 59 162

*lab*rgb*$^*_{Mit}$: 0.0 1.0 0.0

*lab*oh*s*$_{Mit}$: 0.0 1.0 0.13

Daten für Maximalfarbe (Ma):

*LAB*LAB*$_{Ma}$: 53 −56 18

*LAB*LCH*$_{Ma}$: 53 59 162

*lab*rgb*$^*_{Ma}$: 0.0 1.0 0.0

*lab*oh*s*$_{Ma}$: 0.0 1.0 0.13

Dreiecks-Helligkeit l^*

% Umfang

$u^*_{e,i}$ = 93

% Regularität

g^*_{Lcol} = 57

g^*_{Lcol} = 59

	L^*	L^{*-1}	a^*	b^*	$C^*_{ab,i}$	$h^*_{ab,i}$	$u^*_{e,i}$
r000	48.0	68.4	32.59	75.77	25	m72a	
r25j	51.32	59.36	53.8	80.11	42	o08y	
r50j	62.67	39.12	64.83	75.72	59	o36y	
r75j	73.73	19.4	75.58	78.03	76	o64y	
r00g	86.61	−3.56	88.09	88.17	92	o92y	
r25g	78.07	−26.65	74.05	78.7	110	y24f	
r50g	65.83	−42.95	56.44	70.93	127	y56f	
r75g	54.87	−57.54	40.67	70.47	145	y88f	
g00b	52.54	−55.92	17.93	58.72	162	l13c	
g25b	55.02	−45.51	−7.7	46.16	190	l45c	
g50b	56.98	−37.24	−28.05	46.62	217	l77c	
g75b	53.92	−21.57	−44.94	49.84	244	c12v	
b00r	41.64	1.36	−44.71	44.73	272	c51v	
b25r	28.53	25.85	−44.46	51.43	300	c92v	
b50r	34.77	48.93	−29.86	57.32	329	v48m	
b75r	48.12	74.52	−3.85	74.62	357	m08o	

Brillantheit i^*

relative Buntheit c^*

Ein und Ausgabe: Farbmetrisches Drucker-Reflektiv-System ORS18_95aM für relativen CIELAB-Buntton $h^* = lab^*b^* = h_{ab}/360 = 0.527$ $u^*_e = g25b$

Daten für jede Farbe: *lab*lch** und *lab*icu**

Buntkontexte: $u^*_e = g25b$ $u^*_a = l45c$

Kontrastreduzierungsfaktor: $c_{Ri} = 1.0$

Dreiecks-Helligkeit l^*

ORS18_95aM_adaptierte CIELAB-Daten

	L^*	L^{*-1}	a^*	b^*	$C^*_{ab,i}$	$h^*_{ab,i}$	$u^*_{e,i}$
O_{ab}	47.94	65.39	50.52	82.63	38		
Y_{ab}	90.37	−10.27	91.75	92.32	96		
L_{ab}	50.9	−62.84	34.96	71.91	151		
C_{ab}	58.62	−30.35	−45.02	54.3	236		
V_{ab}	25.72	31.1	−44.41	54.22	305		
M_{ab}	48.13	75.28	−8.37	75.74	354		
N_{ab}	18.01	0.0	0.0	0.0	0		
W_{ab}	95.41	0.0	0.0	0.0	0		
R_{ab}	39.92	58.74	27.99	65.07	25		
h_{ab}	81.26	−2.89	71.56	71.62	92		
C_{ab}	52.23	−42.42	13.6	44.55	162		
D_{uv}	30.57	1.41	−46.47	46.49	272		

*LAB*LAB*$_{Mit}$: 55 −46 −8

*LAB*LCH*$_{Mit}$: 55 46 189

*lab*rgb*$^*_{Mit}$: 0.0 1.0 0.5

*lab*oh*s*$_{Mit}$: 0.0 1.0 0.45

Daten für Maximalfarbe (Ma):

*LAB*LAB*$_{Ma}$: 55 −46 −8

*LAB*LCH*$_{Ma}$: 55 46 189

*lab*rgb*$^*_{Ma}$: 0.0 1.0 0.5

*lab*oh*s*$_{Ma}$: 0.0 1.0 0.45

Dreiecks-Helligkeit l^*

% Umfang

$u^*_{e,i}$ = 93

% Regularität

g^*_{Lcol} = 57

g^*_{Lcol} = 59

	L^*	L^{*-1}	a^*	b^*	$C^*_{ab,i}$	$h^*_{ab,i}$	$u^*_{e,i}$
r000	48.0	68.4	32.59	75.77	25	m72a	
r25j	51.32	59.36	53.8	80.11	42	o08y	
r50j	62.67	39.12	64.83	75.72	59	o36y	
r75j	73.73	19.4	75.58	78.03	76	o64y	
r00g	86.61	−3.56	88.09	88.17	92	o92y	
r25g	78.07	−26.65	74.05	78.7	110	y24f	
r50g	65.83	−42.95	56.44	70.93	127	y56f	
r75g	54.87	−57.54	40.67	70.47	145	y88f	
g00b	52.54	−55.92	17.93	58.72	162	l13c	
g25b	55.02	−45.51	−7.7	46.16	190	l45c	
g50b	56.98	−37.24	−28.05	46.62	217	l77c	
g75b	53.92	−21.57	−44.94	49.84	244	c12v	
b00r	41.64	1.36	−44.71	44.73	272	c51v	
b25r	28.53	25.85	−44.46	51.43	300	c92v	
b50r	34.77	48.93	−29.86	57.32	329	v48m	
b75r	48.12	74.52	−3.85	74.62	357	m08o	

Brillantheit i^*

relative Buntheit c^*

Ein und Ausgabe: Farbmetrisches Drucker-Reflektiv-System ORS18_95aM für relativen CIELAB-Buntton $h^* = lab^*b^* = h_{ab}/360 = 0.603$ $u^*_e = g50b$

Daten für jede Farbe: *lab*lch** und *lab*icu**

Buntkontexte: $u^*_e = g50b$ $u^*_a = l77c$

Kontrastreduzierungsfaktor: $c_{Ri} = 1.0$

Dreiecks-Helligkeit l^*

ORS18_95aM_adaptierte CIELAB-Daten

	L^*	L^{*-1}	a^*	b^*	$C^*_{ab,i}$	$h^*_{ab,i}$	$u^*_{e,i}$
O_{ab}	47.94	65.39	50.52	82.63	38		
Y_{ab}	90.37	−10.27	91.75	92.32	96		
L_{ab}	50.9	−62.84	34.96	71.91	151		
C_{ab}	58.62	−30.35	−45.02	54.3	236		
V_{ab}	25.72	31.1	−44.41	54.22	305		
M_{ab}	48.13	75.28	−8.37	75.74	354		
N_{ab}	18.01	0.0	0.0	0.0	0		
W_{ab}	95.41	0.0	0.0	0.0	0		
R_{ab}	39.92	58.74	27.99	65.07	25		
h_{ab}	81.26	−2.89	71.56	71.62	92		
C_{ab}	52.23	−42.42	13.6	44.55	162		
D_{uv}	30.57	1.41	−46.47	46.49	272		

*LAB*LAB*$_{Mit}$: 57 −37 −28

*LAB*LCH*$_{Mit}$: 57 47 216

*lab*rgb*$^*_{Mit}$: 0.0 1.0 1.0

*lab*oh*s*$_{Mit}$: 0.0 1.0 0.78

Daten für Maximalfarbe (Ma):

*LAB*LAB*$_{Ma}$: 57 −37 −28

*LAB*LCH*$_{Ma}$: 57 47 216

*lab*rgb*$^*_{Ma}$: 0.0 1.0 1.0

*lab*oh*s*$_{Ma}$: 0.0 1.0 0.78

Dreiecks-Helligkeit l^*

% Umfang

$u^*_{e,i}$ = 93

% Regularität

g^*_{Lcol} = 57

g^*_{Lcol} = 59

	L^*	L^{*-1}	a^*	b^*	$C^*_{ab,i}$	$h^*_{ab,i}$	$u^*_{e,i}$
r000	48.0	68.4	32.59	75.77	25	m72a	
r25j	51.32	59.36	53.8	80.11	42	o08y	
r50j	62.67	39.12	64.83	75.72	59	o36y	
r75j	73.73	19.4	75.58	78.03	76	o64y	
r00g	86.61	−3.56	88.09	88.17	92	o92y	
r25g	78.07	−26.65	74.05	78.7	110	y24f	
r50g	65.83	−42.95	56.44	70.93	127	y56f	
r75g	54.87	−57.54	40.67	70.47	145	y88f	
g00b	52.54	−55.92	17.93	58.72	162	l13c	
g25b	55.02	−45.51	−7.7	46.16	190	l45c	
g50b	56.98	−37.24	−28.05	46.62	217	l77c	
g75b	53.92	−21.57	−44.94	49.84	244	c12v	
b00r	41.64	1.36	−44.71	44.73	272	c51v	
b25r	28.53	25.85	−44.46	51.43	300	c92v	
b50r	34.77	48.93	−29.86	57.32	329	v48m	
b75r	48.12	74.52	−3.85	74.62	357	m08o	

Brillantheit i^*

relative Buntheit c^*

Ein und Ausgabe: Farbmetrisches Drucker-Reflektiv-System ORS18_95aM für relativen CIELAB-Buntton $h^* = lab^*b^* = h_{ab}/360 = 0.679$ $u^*_e = g75b$

Daten für jede Farbe: *lab*lch** und *lab*icu**

Buntkontexte: $u^*_e = g75b$ $u^*_a = c12v$

Kontrastreduzierungsfaktor: $c_{Ri} = 1.0$

Dreiecks-Helligkeit l^*

ORS18_95aM_adaptierte CIELAB-Daten

	L^*	L^{*-1}	a^*	b^*	$C^*_{ab,i}$	$h^*_{ab,i}$	$u^*_{e,i}$
O_{ab}	47.94	65.39	50.52	82.63	38		
Y_{ab}	90.37	−10.27	91.75	92.32	96		
L_{ab}	50.9	−62.84	34.96	71.91	151		
C_{ab}	58.62	−30.35	−45.02	54.3	236		
V_{ab}	25.72	31.1	−44.41	54.22	305		
M_{ab}	48.13	75.28	−8.37	75.74	354		
N_{ab}	18.01	0.0	0.0	0.0	0		
W_{ab}	95.41	0.0	0.0	0.0	0		
R_{ab}	39.92	58.74	27.99	65.07	25		
h_{ab}	81.26	−2.89	71.56	71.62	92		
C_{ab}	52.23	−42.42	13.6	44.55	162		
D_{uv}	30.57	1.41	−46.47	46.49	272		

*LAB*LAB*$_{Mit}$: 54 −22 −45

*LAB*LCH*$_{Mit}$: 54 50 244

*lab*rgb*$^*_{Mit}$: 0.0 0.5 1.0

*lab*oh*s*$_{Mit}$: 0.0 0.88 1.0

Daten für Maximalfarbe (Ma):

*LAB*LAB*$_{Ma}$: 54 −22 −45

*LAB*LCH*$_{Ma}$: 54 50 244

*lab*rgb*$^*_{Ma}$: 0.0 0.5 1.0

*lab*oh*s*$_{Ma}$: 0.0 0.88 1.0

Dreiecks-Helligkeit l^*

% Umfang

$u^*_{e,i}$ = 93

% Regularität

g^*_{Lcol} = 57

g^*_{Lcol} = 59

	L^*	L^{*-1}	a^*	b^*	$C^*_{ab,i}$	$h^*_{ab,i}$	$u^*_{e,i}$
r000	48.0	68.4	32.59	75.77	25	m72a	
r25j	51.32	59.36	53.8	80.11	42	o08y	
r50j	62.67	39.12	64.83	75.72	59	o36y	
r75j	73.73	19.4	75.58	78.03	76	o64y	
r00g	86.61	−3.56	88.09	88.17	92	o92y	
r25g	78.07	−26.65	74.05	78.7	110	y24f	
r50g	65.83	−42.95	56.44	70.93	127	y56f	
r75g	54.87	−57.54	40.67	70.47	145	y88f	
g00b	52.54	−55.92	17.93	58.72	162	l13c	
g25b	55.02	−45.51	−7.7	46.16	190	l45c	
g50b	56.98	−37.24	−28.05	46.62	217	l77c	
g75b	53.92	−21.57	−44.94	49.84	244	c12v	
b00r	41.64	1.36	−44.71	44.73	272	c51v	
b25r	28.53	25.85	−44.46	51.43	300	c92v	
b50r	34.77	48.93	−29.86	57.32	329	v48m	
b75r	48.12	74.52	−3.85	74.62	357	m08o	

Brillantheit i^*

relative Buntheit c^*

Ein und Ausgabe: Farbmetrisches Drucker-Reflektiv-System ORS18_95aM für relativen CIELAB-Buntton $h^* = lab^*b^* = h_{ab}/360 = 0.755$ $u^*_e = b00r$

Daten für jede Farbe: *lab*lch** und *lab*icu**

Buntkontexte: $u^*_e = b00r$ $u^*_a = c51v$

Kontrastreduzierungsfaktor: $c_{Ri} = 1.0$

Dreiecks-Helligkeit l^*

ORS18_95aM_adaptierte CIELAB-Daten

	L^*	L^{*-1}	a^*	b^*	$C^*_{ab,i}$	$h^*_{ab,i}$	$u^*_{e,i}$
O_{ab}	47.94	65.39	50.52	82.63	38		
Y_{ab}	90.37	−10.27	91.75	92.32	96		
L_{ab}	50.9	−62.84	34.96	71.91	151		
C_{ab}	58.62	−30.35	−45.02	54.3	236		
V_{ab}	25.72	31.1	−44.41	54.22	305		
M_{ab}	48.13	75.28	−8.37	75.74	354		
N_{ab}	18.01	0.0	0.0	0.0	0		
W_{ab}	95.41	0.0	0.0	0.0	0		
R_{ab}	39.92	58.74	27.99	65.07	25		
h_{ab}	81.26	−2.89	71.56	71.62	92		
C_{ab}	52.23	−42.42	13.6	44.55	162		
D_{uv}	30.57	1.41	−46.47	46.49	272		

*LAB*LAB*$_{Mit}$: 42 −1 −45

*LAB*LCH*$_{Mit}$: 42 45 271

*lab*rgb*$^*_{Mit}$: 0.0 0.0 1.0

*lab*oh*s*$_{Mit}$: 0.0 0.48 1.0

Daten für Maximalfarbe (Ma):

*LAB*LAB*$_{Ma}$: 42 −1 −45

*LAB*LCH*$_{Ma}$: 42 45 271

*lab*rgb*$^*_{Ma}$: 0.0 0.0 1.0

*lab*oh*s*$_{Ma}$: 0.0 0.48 1.0

Dreiecks-Helligkeit l^*

% Umfang

$u^*_{e,i}$ = 93

% Regularität

g^*_{Lcol} = 57

g^*_{Lcol} = 59

	L^*	L^{*-1}	a^*	b^*	$C^*_{ab,i}$	$h^*_{ab,i}$	$u^*_{e,i}$
r000	48.0	68.4	32.59	75.77	25	m72a	
r25j	51.32	59.36	53.8	80.11	42	o08y	
r50j	62.67	39.12	64.83	75.72	59	o36y	
r75j	73.73	19.4	75.58	78.03	76	o64y	
r00g	86.61	−3.56	88.09	88.17	92	o92y	
r25g	78.07	−26.65	74.05	78.7	110	y24f	
r50g	65.83	−42.95	56.44	70.93	127	y56f	
r75g	54.87	−57.54	40.67	70.47	145	y88f	
g00b	52.54	−55.92	17.93	58.72	162	l13c	
g25b	55.02	−45.51	−7.7	46.16	190	l45c	
g50b	56.98	−37.24	−28.05	46.62	217	l77c	
g75b	53.92	−21.57	−44.94	49.84	244	c12v	
b00r	41.64	1.36	−44.71	44.73	272	c51v	
b25r	28.53	25.85	−44.46	51.43	300	c92v	
b50r	34.77	48.93	−29.86	57.32	329	v48m	
b75r	48.12	74.52	−3.85	74.62	357	m08o	

Brillantheit i^*

relative Buntheit c^*

Ein und Ausgabe: Farbmetrisches Drucker-Reflektiv-System ORS18_95aM für relativen CIELAB-Buntton $h^* = lab^*b^* = h_{ab}/360 = 0.834$ $u^*_e = b25r$

Daten für jede Farbe: *lab*lch** und *lab*icu**

Buntkontexte: $u^*_e = b25r$ $u^*_a = c92v$

Kontrastreduzierungsfaktor: $c_{Ri} = 1.0$

Dreiecks-Helligkeit l^*

ORS18_95aM_adaptierte CIELAB-Daten

	L^*	L^{*-1}	a^*	b^*	$C^*_{ab,i}$	$h^*_{ab,i}$	$u^*_{e,i}$
O_{ab}	47.94	65.39	50.52	82.63	38		
Y_{ab}	90.37	−10.27	91.75	92.32	96		
L_{ab}	50.9	−62.84	34.96	71.91	151		
C_{ab}	58.62	−30.35	−45.02	54.3	236		
V_{ab}	25.72	31.1	−44.41	54.22	305		
M_{ab}	48.13	75.28	−8.37	75.74	354		
N_{ab}	18.01	0.0	0.0	0.0	0		
W_{ab}	95.41	0.0	0.0	0.0	0		
R_{ab}	39.92	58.74	27.99	65.07	25		
h_{ab}	81.26	−2.89	71.56	71.62	92		
C_{ab}	52.23	−42.42	13.6	44.55	162		
D_{uv}	30.57	1.41	−46.47	46.49	272		

*LAB*LAB*$_{Mit}$: 29 26 −44

*LAB*LCH*$_{Mit}$: 29 51 300

*lab*rgb*$^*_{Mit}$: 0.5 0.0 1.0

*lab*oh*s*$_{Mit}$: 0.5 0.07 1.0

Daten für Maximalfarbe (Ma):

*LAB*LAB*$_{Ma}$: 29 51 −44

*LAB*LCH*$_{Ma}$: 29 51 300

*lab*rgb*$^*_{Ma}$: 0.5 0.0 1.0

*lab*oh*s*$_{Ma}$: 0.5 0.07 1.0

Dreiecks-Helligkeit l^*

% Umfang

$u^*_{e,i}$ = 93

% Regularität

g^*_{Lcol} = 57

g^*_{Lcol} = 59

	L^*	L^{*-1}	a^*	b^*	$C^*_{ab,i}$	$h^*_{ab,i}$	$u^*_{e,i}$
r000	48.0	68.4	32.59	75.77	25	m72a	
r25j	51.32	59.36	53.8	80.11	42	o08y	
r50j	62.67	39.12	64.83	75.72	59	o36y	
r75j	73.73	19.4	75.58	78.03	76	o64y	
r00g	86.61	−3.56	88.09	88.17	92	o92y	
r25g	78.07	−26.65	74.05	78.7	110	y24f	
r50g	65.83	−42.95	56.44	70.93	127	y56f	
r75g	54.87	−57.54	40.67	70.47	145	y88f	
g00b	52.54	−55.92	17.93	58.72	162	l13c	
g25b	55.02	−45.51	−7.7	46.16	190	l45c	
g50b	56.98	−37.24	−28.05	46.62	217	l77c	
g75b	53.92	−21.57	−44.94	49.84	244	c12v	
b00r	41.64	1.36	−44.71	44.73	272	c51v	
b25r	28.53	25.85	−44.46	51.43	300	c92v	
b50r	34.77	48.93	−29.86	57.32	329	v48m	
b75r	48.12	74.52	−3.85	74.62	357	m08o	

Brillantheit i^*

relative Buntheit c^*

Ein und Ausgabe: Farbmetrisches Drucker-Reflektiv-System ORS18_95aM für relativen CIELAB-Buntton $h^* = lab^*b^* = h_{ab}/360 = 0.913$ $u^*_e = b50r$

Daten für jede Farbe: *lab*lch** und *lab*icu**

Buntkontexte: $u^*_e = b50r$ $u^*_a = v48m$

Kontrastreduzierungsfaktor: $c_{Ri} = 1.0$

Dreiecks-Helligkeit l^*

ORS18_95aM_adaptierte CIELAB-Daten

	L^*	L^{*-1}	a^*	b^*	$C^*_{ab,i}$	$h^*_{ab,i}$	$u^*_{e,i}$
O_{ab}	47.94	65.39	50.52	82.63	38		
Y_{ab}	90.37	−10.27	91.75	92.32	96		
L_{ab}	50.9	−62.84	34.96	71.91	151		
C_{ab}	58.62	−30.35	−45.02	54.3	236		
V_{ab}	25.72	31.1	−44.41	54.22	305		
M_{ab}	48.13	75.28	−8.37	75.74	354		
N_{ab}	18.01	0.0	0.0	0.0	0		
W_{ab}	95.41	0.0	0.0	0.0	0		
R_{ab}	39.92	58.74	27.99	65.07	25		
h_{ab}	81.26	−2.89	71.56	71.62	92		
C_{ab}	52.23	−42.42	13.6	44.55	162		
D_{uv}	30.57	1.41	−46.47	46.49	272		

*LAB*LAB*$_{Mit}$: 35 49 −30

*LAB*LCH*$_{Mit}$: 35 57 328

*lab*rgb*$^*_{Mit}$: 0.49 0.0 1.0

*lab*oh*s*$_{Mit}$: 0.49 0.0 1.0

Daten für Maximalfarbe (Ma):

*LAB*LAB*$_{Ma}$: 35 49 −30

*LAB*LCH*$_{Ma}$: 35 57 328

*lab*rgb*$^*_{Ma}$: 1.0 0.0 1.0

*lab*oh*s*$_{Ma}$: 0.49 0.0 1.0

Dreiecks-Helligkeit l^*

% Umfang

$u^*_{e,i}$ = 93

% Regularität

g^*_{Lcol} = 57

g^*_{Lcol} = 59

	L^*	L^{*-1}	a^*	b^*	$C^*_{ab,i}$	$h^*_{ab,i}$	$u^*_{e,i}$
r000	48.0	68.4	32.59	75.77	25	m72a	
r25j	51.32	59.36	53.8	80.11	42	o08y	
r50j	62.67	39.12	64.83	75.72	59	o36y	
r75j	73.73	19.4	75.58	78.03	76	o64y	
r00g	86.61	−3.56	88.09	88.17	92	o92y	
r25g	78.07	−26.65	74.05	78.7	110	y24f	
r50g	65.83	−42.95	56.44	70.93	127	y56f	
r75g	54.87	−57.54	40.67	70.47	145	y88f	
g00b	52.54	−55.92	17.93	58.72	162	l13c	
g25b	55.02	−45.51	−7.7	46.16	190	l45c	
g50b	56.98	−37.24	−28.05	46.62	217	l77c	
g75b	53.92	−21.57	−44.94	49.84	244	c12v	
b00r	41.64	1.36	−44.71	44.73	272	c51v	
b25r	28.53	25.85	−44.46	51.43	300	c92v	
b50r	34.77	48.93	−29.86	57.32	329	v48m	
b75r	48.12	74.52	−3.85	74.62	357	m08o	

Brillantheit i^*

relative Buntheit c^*

Ein und Ausgabe: Farbmetrisches Drucker-Reflektiv-System ORS18_95aM für relativen CIELAB-Buntton $h^* = lab^*b^* = h_{ab}/360 = 0.992$ $u^*_e = b75r$

Daten für jede Farbe: *lab*lch** und *lab*icu**

Buntkontexte: $u^*_e = b75r$ $u^*_a = m08o$

Kontrastreduzierungsfaktor: $c_{Ri} = 1.0$

Dreiecks-Helligkeit l^*

ORS18_95aM_adaptierte CIELAB-Daten

	L^*	L^{*-1}	a^*	b^*	$C^*_{ab,i}$	$h^*_{ab,i}$	$u^*_{e,i}$
O_{ab}	47.94	65.39	50.52	82.63	38		
Y_{ab}	90.37	−10.27	91.75	92.32	96		
L_{ab}	50.9	−62.84	34.96	71.91	151		
C_{ab}	58.62	−30.35	−45.02	54.3	236		
V_{ab}	25.72	31.1	−44.41	54.22	305		
M_{ab}	48.13	75.28	−8.37	75.74	354		
N_{ab}	18.01	0.0	0.0	0.0	0		
W_{ab}	95.41	0.0	0.0	0.0	0		
R_{ab}	39.92	58.74	27.99	65.07	25		
h_{ab}	81.26	−2.89	71.56	71.62	92		
C_{ab}	52.23	−42.42	13.6	44.55	162		
D_{uv}	30.57	1.41	−46.47	46.49	272		

*LAB*LAB*$_{Mit}$: 48 75 −4

*LAB*LCH*$_{Mit}$: 48 75 357

*lab*rgb*$^*_{Mit}$: 1.0 0.0 0.5

*lab*oh*s*$_{Mit}$: 1.0 0.0 0.92

Daten für Maximalfarbe (Ma):

*LAB*LAB*$_{Ma}$: 48 75 −4

*LAB*LCH*$_{Ma}$: 48 75 357

*lab*rgb*$^*_{Ma}$: 1.0 0.0 0.5

*lab*oh*s*$_{Ma}$: 1.0 0.0 0.92

Dreiecks-Helligkeit l^*

% Umfang

$u^*_{e,i}$ = 93

% Regularität

g^*_{Lcol} = 57

g^*_{Lcol} = 59

	L^*	L^{*-1}	a^*	b^*	$C^*_{ab,i}$	$h^*_{ab,i}$	$u^*_{e,i}$
r000	48.0	68.4	32.59	75.77	25	m72a	
r25j	51.32	59.36	53.8	80.11	42	o08y	
r50j	62.67	39.12	64.83	75.72	59	o36y	
r75j	73.73	19.4	75.58	78.03	76	o64y	
r00g	86.61	−3.56	88.09	88.17	92	o92y	
r25g	78.07	−26.65	74.05	78.7	110	y24f	
r50g	65.83	−42.95	56.44	70.93	127	y56f	
r75g	54.87	−57.54	40.67	70.47	145	y88f	
g00b	52.54	−55.92	17.93	58.72	162	l13c	
g25b	55.02	−45.51	−7.7	46.16	190	l45c	
g50b	56.98	−37.24	−28.05	46.62	217	l77c	
g75b	53.92	−21.57	−44.94	49.84	244	c12v	
b00r	41.64	1.36	−44.71	44.73	272	c51v	
b25r	28.53	25.85	−44.46	51.43	300	c92v	
b50r	34.77	48.93	−29.86	57.32	329	v48m	
b75r	48.12	74.52	−3.85	74.62	357	m08o	

Brillantheit i^*
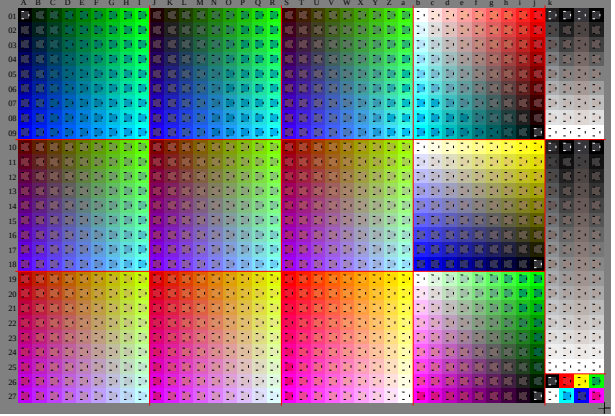
relative Buntheit c^*